

УДК 541.49:546.65:547.491

ГЕТЕРОМЕТАЛЛИЧЕСКИЕ (ЛАНТАНОИД ИЛИ ИТРИЙ,  
*p*- ИЛИ *d*-ЭЛЕМЕНТ) СОДЕРЖАЩИЕ  
N,N'-ЭТИЛЕН-бис-САЛИЦИЛИДЕНИМИНАТЫ

© 1993 г. Н. М. Самусь, И. В. Хорошун, И. В. Синица, М. В. Ганзий

Молдавский государственный университет

Институт прикладной физики АН Республики Молдова

Поступила в редакцию 06.01.93 г.

Разработаны методики синтеза (La, Sm или Y, *p*- или *d*-элемент) содержащих N,N'-этilen-бис-салицилидениминатов, для которых на основании данных ИК, ЭПР спектроскопии, магнетохимии (293 К), термогравиметрии определены состав и вероятное распределение химических связей. Найдено, что N,N'-этilen-бис-салицилиденимин ( $H_2L$ ) выступает в роли тетрагентатного хелатирующего лиганда за счет атомов кислорода фенольной и азота азометиновой группы. Установлено наличие обменного взаимодействия между ионами Cu(II) в гетероидерном комплексе  $[LaL(HL)(CuCl_2)_2]$ . Рассчитаны кинетические параметры первой стадии топохимической реакции – отщепления хлороводорода; выявлено, что природа льюисовской кислоты –  $MCl_n$  ( $M = Sb(III)$ ,  $Bi(III)$ ,  $Ti(IV)$ ) – оказывает влияние на процесс дегидрогалогенирования комплекса. Показано, что эти соединения в интервале 20 - 140°C являются полупроводниками ( $\rho \approx 10^7 - 10^8 \Omega \text{ см}$  при 293 К).

Химия координационных соединений редкоземельных элементов (Ln) в последнее десятилетие получила широкое развитие. Это связано с тем, что соединения Ln нашли непосредственное применение в различных областях новой техники [1]. Особый интерес к ним продиктован также получением на их основе сложных оксидных систем, обладающих высокотемпературной сверхпроводимостью (ВТСП) [2]. Перспективным направлением в этом плане является применение гетерометаллических (Ln, *p*- или *d*-элемент) содержащих комплексов с органическими лигандами, которые могут служить исходными веществами для получения керамик, обладающих определенным составом, строением и электрическими свойствами (диэлектрическими, полупроводниковыми, токопроводящими, сверхпроводящими) [3 - 5].

Ранее [6] нами были синтезированы и исследованы многоядерные гетерометаллические (Y или Ln, Ba, Cu) содержащие ацетилакетонаты, в которых атомное отношение Cu : Ba : Ln = 3 : 2 : 1. Показано, что конечным продуктом пиролиза этих комплексов являются практически однодофазные тройные ВТСП оксиды со структурой типа  $YBa_2Cu_3O_{7-\delta}$ . Представляло интерес дальнейшее исследование возможности синтеза гетероидерных лантаноидсодержащих координационных соединений с использованием органического лиганда – N,N'-этilen-бис-салицилиденимина ( $H_2L$ ) и гетероатомов – хлоридов  $Sb(III)$ ,  $Bi(III)$ ,  $Ti(IV)$ ,  $Cu(II)$ , выступающих в роли кислот Льюиса [7]. Синтез комплексов проводили по следующим методикам.

$[LaL(HL)(CuCl_2)_2]$  (I). К суспензии 1.02 г (1.5 ммоля)  $[LaL(HL)]$  [8] в хлороформе добавляли 0.40 г (3.0 ммоля) безводного хлорида меди(II) в 30 мл абсолютированного метанола. При нагревании ( $T = 45^\circ\text{C}$ ) и непрерывном перемешивании в течение 2 - 3 ч в реакционной смеси образовался однородный продукт коричневого цвета, который охлаждали до комнатной температуры, отфильтровывали, промывали хлороформом и сушили в вакуум-экскаторе над силикагелем.

$[SmL(HL)(CuCl_2)_2]$  (II) синтезировали по аналогичной методике.

При соотношении исходных компонентов 1 : 1 также образуются соединения I и II.

$[LaL(HL)BiCl_3]$  (III). Соединение желтого цвета получали по вышеописанной методике при взаимодействии хлороформных суспензий 1.40 г (2.0 ммоля)  $[LaL(HL)]$  с 0.63 г (2.0 ммоля) хлорида висмута(III). Аналогично синтезировали  $[LaL(HL)SbCl_3]$  (IV),  $[LaL_2TiCl_3]$  (V) и  $[YL(HL)BiCl_3]$  (VI).

Результаты элементного анализа и выход комплексов I - VI приведены в табл. 1.

ИК спектры поглощения снимали на спектрометрах Perkin-Elmer-577 и Specord M-80 с использованием методики растирания образцов в вазелиновом и фторированном маслах. ЭПР спектры снимали на радиоспектрометре РЭ-1307. Дериватограммы образцов получали на дериватографе системы Паулик-Паулик-Эрдеи МОМ ОД-102 в температурных интервалах 20 - 500°C со скоростью 2.5 град/мин и 20 - 1000°C со скоростью 5 град/мин. Магнитную восприимчивость измеряли по методу Гуи при комнатной температуре (ка-

либровка по  $\text{Co}[\text{Hg}(\text{SCN})_4]$ ). Диамагнитные поправки учитывали согласно [9]. Зависимость электропроводности от температуры соединений на таблетированных образцах изучали с помощью установки, схема которой приведена в [10]. Измерения проводили в криостате в интервале температур 20 - 140°C. Значения постоянной  $B$ , характеризующей температурную чувствительность материала в интервале рабочих температур, и ТКС - температурного коэффициента сопротивления, рассчитывали согласно [10].

## РЕЗУЛЬТАТЫ И ИХ ОБСУЖДЕНИЕ

Эксперимент показал, что при нагревании в среде хлороформа смеси  $[\text{LnL}(\text{HL})] + \text{MCl}_4$  ( $\text{Ln}(\text{III}) = \text{La}, \text{Sm}, \text{Y}; \text{M} = \text{Sb}(\text{III}), \text{Bi}(\text{III}), \text{Ti}(\text{IV})$ ), взятых в соотношении 1 : 1, образуются однородные мелкокристаллические продукты, в которых реализуется атомное отношение  $\text{Ln} : \text{M} = 1 : 1$  (табл. 1). Выделенные вещества не растворимы в эфире, бензоле, спирте, гексане; водой при нагревании разлагаются. В результате измерения мо-

Таблица 1. Результаты элементного анализа и выход соединений I - VI

Соединение	Брутто-формула	Содержание (найдено/вычислено), %				Выход, %
		Ln	M	N	Cl	
I	$\text{LaCu}_2\text{C}_{32}\text{H}_{29}\text{N}_4\text{O}_4\text{Cl}_4$	14.20	13.32	5.53	14.90	75
		14.75	13.58	5.94	15.07	
II	$\text{SmCu}_2\text{C}_{32}\text{H}_{29}\text{N}_4\text{O}_4\text{Cl}_4$	15.36	13.21	5.58	14.76	72
		15.73	13.43	5.87	14.90	
III	$\text{LaBiC}_{32}\text{H}_{29}\text{N}_4\text{O}_4\text{Cl}_3$	13.99	21.42	5.48	9.89	65
		14.09	21.08	5.68	10.09	
IV	$\text{LaSbC}_{32}\text{H}_{29}\text{N}_4\text{O}_4\text{Cl}_3$	15.85	13.23	6.29	11.61	70
		15.43	13.54	6.22	11.83	
V	$\text{LaTiC}_{32}\text{H}_{28}\text{N}_4\text{O}_4\text{Cl}_3$	18.51	6.20	6.37	13.74	72
		18.83	5.81	6.78	14.29	
VI	$\text{YBiC}_{32}\text{H}_{29}\text{N}_4\text{O}_4\text{Cl}_3$	9.60	22.01	5.99	11.00	75
		9.50	22.29	5.98	10.37	

Таблица 2. Результаты термогравиметрического анализа гетероядерных соединений I - VI

Соединение	Номер пика по кривой ДТА	Характеристика пика по кривой ДТА	$T_{\text{нач}}$	$T_{\text{макс}}$	$T_{\text{кон}}$	$\Delta m$ (найд./выч.), %	Выделившийся продукт (ДТГ)	$T$ полного разложения, °C
$[\text{LaL}(\text{HL})\text{SbCl}_3]$	1	эндо	60	95	110	4.0/4.1	1HCl	450
	2	экзо	220	240	310			
	3	экзо	320	450	560			
$[\text{LaL}(\text{HL})\text{BiCl}_3]$	1	эндо	80	140	170	4.0/3.7	1HCl	440
	2	экзо	190	230	300			
	3	экзо	320	440	560			
$[\text{YL}(\text{HL})\text{BiCl}_3]$	1	эндо	110	160	180	3.5/3.9	1HCl	470
	2	экзо	200	240	300			
	3	экзо	430	470	560			
$[\text{LaL}_2\text{TiCl}_3]$	1 + 2	экзо	80	480	610			480
$[\text{LaL}(\text{HL})(\text{CuCl}_2)_2]$	1	экзо	170	190	230			
	2	экзо		280	400			
	3	экзо		580	690			580
$[\text{SmL}(\text{HL})(\text{CuCl}_2)_2]$	1	экзо	150	190	240			520
	2	экзо		290	360			
	3	экзо		520	580			

лярной электропроводности комплексов в диметилформамиде установлено, что они являются неэлектролитами. Обращает на себя внимание тот факт, что при проведении реакции синтеза гетерометаллического соединения V в присутствии  $TiCl_4$  наблюдается выделение хлороводорода.

Термогравиметрический анализ комплексов показал, что на дериватограммах соединений III, IV и VI в области температур 60 - 160°C наблюдается эндотермический эффект, сопровождающийся убылью массы, которая соответствует удалению молекулы хлороводорода (табл. 2). Полное разложение этих веществ происходит в интервале 320 - 470°C. На термограмме  $[LaL_2TiCl_3]$  (V) наблюдаются два последовательных перекрывающихся экзотермических эффекта, которые сопровождаются убылью массы, соответствующей горению органической части молекулы с образованием суммы оксидов La(III) и Ti(IV).

Кинетические параметры первой стадии топохимического процесса – отщепления хлороводорода – были рассчитаны методом Хоровица–Мецгера с учетом дополнения Топора [11, 12]:

Соединение	$E^*$ , кДж/моль	$lg Z$
$[LaL(HL)BiCl_3]$	58.6	5.8
$[LaL(HL)SbCl_3]$	60.5	6.2
$[YL(HL)BiCl_3]$	74.6	7.7

На кинетические параметры топохимической реакции дегидрогалогенирования для одного и того же основания Льюиса оказывает влияние природа льюисовской кислоты: для соединения Sb энергия активации  $E^*$  и  $lg Z$  выше, чем для комплекса Bi, что согласуется с рядом пограничных льюисовских кислот [7].

С целью выяснения способа координации  $H_2L$  в изучаемых комплексах был проведен анализ ИК спектров  $[LaL(HL)SbCl_3]$  и  $[LaL(HL)BiCl_3]$  и установлено, что органический лиганд координирован лантаном через фенольные атомы кислорода и атомы азота азометиновой группы с образованием пяти- и шестичленного металлокиклов. В пользу этого свидетельствует наличие полос валентных колебаний  $\nu(C=N)$  в области 1610 - 1600  $cm^{-1}$ ,  $\nu(C-O)$  при 1360 - 1300  $cm^{-1}$ , а также полос  $\nu(La-N)$  и  $\nu(M-O)$  в областях 510 - 505 и 480 - 430  $cm^{-1}$  соответственно [13, 14]. Следует отметить, что полоса  $\nu(C-O)$ , наблюдавшаяся в спектре  $[LaL(HL)]$  в виде одиночной линии при 1315  $cm^{-1}$ , в спектрах гетероядерных (Ln, Bi или Sb) содержащих комплексов, расщепляется на три полосы: 1360 - 1350, 1345 - 1340, 1305 - 1300  $cm^{-1}$ . Этот факт объясняется участием атома кислорода фенольной группы в образовании мостиковой связи с атомами различных металлов [15].

Для  $[LnL(HL)(CuCl_2)_2]$  по результатам магнетометрического исследования был рассчитан эф-

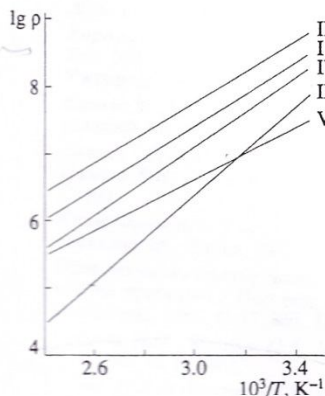
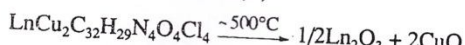


Рисунок. Зависимость удельного сопротивления от температуры для комплексов I - V:  $B = 5857.9$  (I), 5159.0 (II), 7664.8 (III), 6266.8 (IV), 3719.9 K (V),  $-TKC = 6.82$  (I), 6.00 (II), 8.93 (III), 7.30 (IV), 4.33%/ $K$  (V).

фективный магнитный момент при комнатной температуре. Он оказался ниже чисто спинового значения для суммы двух неспаренных электронов, что позволяет предположить наличие в исследуемом комплексе обменного взаимодействия. Подтверждением этого служат данные ЭПР спектров поликристаллического образца I, состоящих из двух линий при 293 и 150 K. В низких полях ( $H \approx 200$  мТл) наблюдается малоинтенсивный сигнал с  $g_{\text{эфф}} = 4.157$  (293 K) и 4.162 (150 K), что характерно для систем с  $S > 1$ . Наличие низкополевой линии в спектре ЭПР, а также заниженные значения  $\mu_{\text{эфф}}$  при комнатной температуре позволяют предположить, что в исследуемом комплексе осуществляется обменное взаимодействие антиферромагнитного типа [16, 17]. Сигнал в области 180 - 360 мТл характеризуется  $g$ -факторами:  $g_1 = 2.171$ ;  $g_2 = 2.029$  (293 K) и  $g_1 = 2.176$ ;  $g_2 = 2.031$  (150 K). Ширина линии мало меняется с понижением температуры, т.е. это сигнал от одиночного центра  $Cu^{2+}$  либо от концевых центров  $Cu^{2+}$  в цепочечной структуре.

Наличие в ИК спектре (Sm, Cu)-содержащего соединения II характеристических полос валентных колебаний  $\nu(C=N)$ ,  $\nu(C-O)$ ,  $\nu(Sm-N)$ ,  $\nu(Cu-O)$  в областях 1600, 1365 - 1310, 580, 520  $cm^{-1}$  соответственно свидетельствует в пользу тетрацентратной координации органического лиганда через атомы кислорода фенольной и азота азометиновой групп. Так же как и в случае (La, Bi)- и (La, Sb)-содержащих комплексов III и IV, в спектре соединения II наблюдается расщепление полосы  $\nu(C-O)$ : 1365, 1340, 1310  $cm^{-1}$ . Это дает основание предположить, что в II фенольный атом кислорода также принимает участие в образовании мостиковой связи с гетероатомом металла.

На дериватограммах комплексов I и II (табл. 2) наблюдаются три последовательных перекрывающихся экзотермических эффекта, сопровождающихся убылью массы, соответствующей сгоранию органической части молекулы и образованию оксидов Ln(III) и Cu(II):



Температура полного разложения соединений составляет 520 и 580°C для Ln = Sm и La соответственно.

Изучение электрических свойств синтезированных гетероядерных комплексов показало, что все они являются низкоомными ( $\rho \approx 10^7 - 10^8$  Ом см при комнатной температуре) полупроводниками (рисунок) с малой чувствительностью в интервале рабочих температур 20 - 140°C.

#### СПИСОК ЛИТЕРАТУРЫ

1. Химия комплексных соединений РЭ / Под ред. Яцимирского К.Б. Киев: Наук. думка, 1966. С. 449.
2. Головашкин А.И. // Успехи физ. наук. 1987. Т. 152. № 4. С. 553.
3. Координационная химия редкоземельных элементов / Под ред. Спицына В.И., Мартыненко Л.И. М.: Изд-во МГУ, 1974. С. 168.
4. Lempicki A., Samelson H. // Phys. Lett. 1963. V. 4. No. 2. P. 133.
5. Редкоземельные полупроводники / Под ред. Жузе В.П., Смирнова И.А. Л.: Наука, 1977. С. 205.
6. Хорошун И.В., Самусь Н.М., Гандзий М.В. и др. // Тез. XIII Укр. конф. по неорганической химии. Ужгород, 1992. Ч. 1. С. 46.
7. Басоло Ф., Пирсон Р. Механизмы неорганических реакций. М.: Мир, 1971. С. 592.
8. Самусь Н.М., Гандзий М.В., Синица И.В., Цапков В.И. // Коорд. химия. 1992. Т. 18. № 1. С. 107.
9. Калинников В.Т., Ракитин Ю.В. Введение в магнетохимию. М.: Наука, 1980. С. 302.
10. Практикум по полупроводникам и полупроводниковым приборам / Под ред. Шалимовой К.В. М.: Высш. шк., 1968. С. 17, 365, 367, 369.
11. Horovitz H.H., Metzger G.A. // Analyt. Chem. 1963. V. 35. No. 10. P. 1464.
12. Топор Н.Д. // Вестн. МГУ. Геология. 1967. № 1. С. 84.
13. Накамото К. Инфракрасные спектры неорганических и координационных соединений. М.: Мир, 1966. С. 411.
14. Беллами Л. Инфракрасные спектры молекул. М.: ИЛ, 1957. С. 92.
15. Хорошун И.В., Тарасевич С.Я., Самусь Н.М. // Ж. неорган. химии. 1991. Т. 36. № 10. С. 2503.
16. Драго Р. Физические методы в химии. Т. 2. М.: Наука, 1981. С. 449.
17. Тарасевич С.Я., Хорошун И.В. // Координационные и полимерные соединения / Под ред. Барба Н.А. Кишинев: Штиинца, 1991. С. 35.